

Procesamiento de Señales e Imágenes Digitales: Series y Transformada de Fourier

MSc. Renán Rojas G.

Pontificia Universidad Católica del Perú

I. Relación entre la Transformada de Fourier en tiempo continuo y la transformada de Laplace

1. Dada la señal $x_c(t)$ y la variable compleja $s = \sigma + j\Omega$:

$$X_c(s) \Big|_{s=\sigma+j\Omega} = \int_{-\infty}^{+\infty} x_c(t) e^{-(\sigma+j\Omega)t} dt.$$

Entonces, $X_c(s)$ puede interpretarse como la **transformada de Fourier en tiempo continuo** de $x_c(t)e^{-\sigma t}$.

2. Si $X_c(s)$ converge para $\text{Re}\{s\} = 0$, la **transformada de Fourier en tiempo continuo** corresponde a la **transformada de Laplace** evaluada en el eje imaginario ($\sigma = 0$):

$$X_c(s) \Big|_{s=j\Omega} = X_c(j\Omega) = \int_{-\infty}^{+\infty} x_c(t) e^{-j\Omega t} dt.$$

** Si $X_c(s)$ no incluye a $\text{Re}\{s\} = 0$ en su **región de convergencia**, entonces $X_c(j\Omega)$ no existe.*

II. Relación entre la Transformada de Fourier en tiempo discreto y la transformada Z

1. Dada la secuencia $x[n]$ y la variable compleja $z = re^{j\omega}$:

$$X(z) \Big|_{z=re^{j\omega}} = \sum_{n=-\infty}^{+\infty} (x[n]r^{-n})e^{-j\omega n}.$$

Entonces, $X(z)$ puede interpretarse como la **transformada de Fourier en tiempo discreto** de $x[n]r^{-n}$.

2. Si $X(z)$ converge para $|z| = 1$, la **transformada de Fourier en tiempo discreto** corresponde a la **transformada Z** evaluada en el círculo unitario ($r = 1$):

$$X(z) \Big|_{z=e^{j\omega}} = X(e^{j\omega}) = \sum_{n=-\infty}^{+\infty} x[n]e^{-j\omega n}.$$

* Si $X(z)$ no incluye a $|z| = 1$ en su **región de convergencia**, entonces $X(e^{j\omega})$ no existe.

I. Descripción

- La representación de señales basada en *series y transformada de Fourier* se caracteriza por propiedades importantes que permiten reducir la complejidad de problemas analíticos y desarrollar conceptos bajo el dominio de frecuencia.
- Ya que la *serie de Fourier* corresponde a muestras de la *transformada de Fourier*, muchas de las propiedades para señales periódicas parten del caso en el cual su periodo es evaluado en el límite cuando tiende a infinito.
- Existe una gran similitud entre las propiedades para señales en tiempo continuo y en tiempo discreto. Esto implica que las demostraciones para ambos escenarios son casi idénticas.
- Adicionalmente, existe un gran conjunto de pares de transformación conocidos, los cuales permiten examinar señales y su interacción con sistemas de forma simple a partir del concepto de análisis en frecuencia.
- Las [tablas de propiedades y pares de transformación conocidos](#) de la representación de Fourier incluyen un resumen de las expresiones más relevantes.

II. Serie de Fourier en tiempo continuo

Ejemplo 1

Determinar la *serie de Fourier en tiempo continuo* de la señal:

$$x_c(t) = 2 + \cos\left(\frac{2\pi}{3}t\right) + 4\sin\left(\frac{5\pi}{4}t\right).$$

Luego, determinar su transformada de *Fourier en tiempo continuo*.

Solución: A partir de la identidad de *Euler*:

$$x_c(t) = 2 + \left[\frac{1}{2} e^{j\frac{2\pi}{3}t} + \frac{1}{2} e^{-j\frac{2\pi}{3}t} \right] + \left[\frac{2}{j} e^{j\frac{5\pi}{4}t} - \frac{2}{j} e^{-j\frac{5\pi}{4}t} \right].$$

La señal $x_c(t)$ está compuesta por cuatro exponenciales complejas. Analizando la relación entre sus frecuencias angulares y verificando si corresponden a armónicas:

$$\frac{2\pi}{3} = k_1 \Omega_0, \quad \frac{5\pi}{4} = k_2 \Omega_0, \quad \frac{1}{k_1} \frac{2\pi}{3} = \frac{1}{k_2} \frac{5\pi}{4}.$$

Ya que Ω_0 está definido como el mayor valor posible (el menor valor T_p en el que todas las exponenciales complejas sean periódicas), $\{k_1, k_2\}$ corresponden a los valores:

$$k_1 = 8, \quad k_2 = 15, \quad \Omega_0 = \frac{2\pi}{24} \frac{\text{rad}}{\text{s}} \quad (T_p = 24 \text{ s}).$$

Expresando $x_c(t)$ en función a Ω_0 :

$$x_c(t) = 2 + \left[\frac{1}{2} e^{j8\left(\frac{2\pi}{24}\right)t} + \frac{1}{2} e^{-j8\left(\frac{2\pi}{24}\right)t} \right] + \left[\frac{2}{j} e^{j15\left(\frac{2\pi}{24}\right)t} - \frac{2}{j} e^{-j15\left(\frac{2\pi}{24}\right)t} \right].$$

Por lo tanto, a partir de la *ecuación de síntesis*:

$$\begin{array}{lll} c_0 = 2, & c_8 = \frac{1}{2}, & c_{-8} = \frac{1}{2}, \\ c_{15} = -2j, & c_{-15} = 2j, & c_k = 0, \text{ otros casos.} \end{array}$$

Por otro lado, de la forma general de la transformada de Fourier en tiempo continuo para señales periódicas:

$$\begin{aligned} X_c(j\Omega) &= 2\pi \sum_{k=-\infty}^{+\infty} c_k \delta(\Omega - k\Omega_0) \\ &= 4\pi + \pi\delta\left[\Omega - 8\left(\frac{2\pi}{24}\right)\right] + \pi\delta\left[\Omega + 8\left(\frac{2\pi}{24}\right)\right] \\ &\quad - 4\pi j\delta\left[\Omega - 15\left(\frac{2\pi}{24}\right)\right] + 4\pi j\delta\left[\Omega + 15\left(\frac{2\pi}{24}\right)\right]. \end{aligned}$$

Ejemplo 2

A partir de la propiedad de derivación en tiempo continuo, determinar la serie de Fourier de la señal $x_c(t)$ de periodo $T_p = 2$ s:

$$x_c(t) = \begin{cases} t, & t \in [0, 1] \\ 2 - t, & t \in [1, 2] \end{cases}.$$

Solución: Ya que $X_c(t)$ es una función derivable, su derivada de primer orden corresponde a:

$$\frac{d}{dt}x_c(t) = \begin{cases} 1, & t \in [0, 1] \\ -1, & t \in [1, 2] \end{cases}.$$

Calculando su transformada de Fourier:

$$\begin{aligned} a_k &= \mathcal{F}\left\{\frac{d}{dt}x_c(t)\right\} = \frac{1}{2} \int_1^2 -e^{-j\pi tk} dt + \frac{1}{2} \int_0^1 e^{-j\pi tk} dt \\ &= \frac{1}{j\pi k} \left[1 - \underbrace{\left(e^{-j\pi k}\right)}_{=(-1)^k, k \in \mathbb{Z}}\right] = \frac{1}{j\pi k} [1 - (-1)^k]. \end{aligned}$$

Luego, por la propiedad de derivación en tiempo (*Tabla 1*), la serie de Fourier $x_c(t) \xleftrightarrow{\mathcal{F}} c_k$ corresponde a:

$$\mathcal{F}\left\{\frac{d}{dt}x_c(t)\right\} = jk\Omega_0 c_k = \frac{1}{j\pi k} [1 - (-1)^k], \quad \Omega_0 = \pi.$$

Finalmente:

$$c_k = \frac{1}{\pi^2 k^2} [(-1)^k - 1].$$

Ejemplo 3

Determinar la serie de Fourier de la señal $x_c(t)$ a partir de:

- a. Propiedad de producto de la serie de Fourier en tiempo continuo.
- b. expansión de términos.

$$x_c(t) = \cos(4\pi t) \sin(4\pi t).$$

Solución:

- a. Considerar las siguientes series de Fourier:

$$a_k = \mathcal{F}\{\cos(4\pi t)\} = \begin{cases} \frac{1}{2}, & k \in \{-1, 1\} \\ 0, & \text{otros casos} \end{cases},$$
$$b_k = \mathcal{F}\{\sin(4\pi t)\} = \begin{cases} -\frac{j}{2}, & k = 1 \\ \frac{j}{2}, & k = -1 \\ 0, & \text{otros casos} \end{cases}.$$

Entonces, por la propiedad de producto (*Tabla 1*):

$$\begin{aligned}\mathcal{F}\{\cos(4\pi t) \sin(4\pi t)\} &= \underbrace{\sum_{l=-\infty}^{+\infty} a_l b_{k-l}}_{a_k * b_k} \\ &= \begin{cases} -\frac{j}{4}, & k = 2 \\ \frac{j}{4}, & k = -2 \\ 0, & \text{otros casos} \end{cases}.\end{aligned}$$

b. A partir de la identidad de *Euler*:

$$\begin{aligned}x_c(t) &= \left[\frac{1}{2}e^{j4\pi t} + \frac{1}{2}e^{-j4\pi t} \right] \left[-\frac{j}{2}e^{j4\pi t} + \frac{j}{2}e^{-j4\pi t} \right] \\ &= -\frac{j}{4}e^{j8\pi t} + \frac{j}{4}e^{-j8\pi t}.\end{aligned}$$

Entonces, de la ecuación de síntesis y asumiendo $\Omega_0 = 4\pi$:

$$c_k = \begin{cases} -\frac{j}{4}, & k = 2 \\ \frac{j}{4}, & k = -2 \\ 0, & \text{otros casos} \end{cases}.$$

III. Serie de Fourier en tiempo discreto

Ejemplo 4

Determinar la serie de Fourier de la secuencia:

$$x_p[n] = \cos\left(\frac{\pi}{3}n\right) + \sqrt{3} \sin\left(\frac{\pi}{7}n\right),$$

Solución: A partir de la identidad de *Euler*:

$$x_p[n] = \frac{1}{2}e^{j\frac{\pi}{3}n} + \frac{1}{2}e^{-j\frac{\pi}{3}n} + \frac{\sqrt{3}}{2j}e^{j\frac{\pi}{7}n} - \frac{\sqrt{3}}{2j}e^{-j\frac{\pi}{7}n}$$

Analizando si las exponenciales son armónicamente relacionadas:

$$\frac{\pi}{3} = \omega_0 k_1, \quad \frac{\pi}{7} = \omega_0 k_2, \quad \frac{1}{k_1} \frac{\pi}{3} = \frac{1}{k_2} \frac{\pi}{7}.$$

Ya que ω_0 está definido como el mayor valor posible (el menor valor N en el que todas las exponenciales complejas sean periódicas), $\{k_1, k_2\}$ corresponden a los valores:

$$k_1 = 7, \quad k_2 = 3, \quad \Omega_0 = \frac{2\pi}{42} \frac{\text{rad}}{\text{muestra}} \quad (N = 42).$$

Entonces, $x[n]$ puede ser expresado a partir de ω_0 :

$$x_p[n] = \frac{1}{2} e^{j7\left(\frac{2\pi}{42}\right)n} + \frac{1}{2} e^{-j7\left(\frac{2\pi}{42}\right)n} + \frac{\sqrt{3}}{2j} e^{j3\left(\frac{2\pi}{42}\right)n} - \frac{\sqrt{3}}{2j} e^{-j3\left(\frac{2\pi}{42}\right)n}$$

1. Entonces, a partir de la ecuación de síntesis:

$$c_k = \begin{cases} \frac{1}{2}, & k = 42r + 7, r \in \mathbb{Z} \\ \frac{1}{2}, & k = 42r - 7 \\ -\frac{\sqrt{3}}{2}j, & k = 42r + 3 \\ \frac{\sqrt{3}}{2}j, & k = 42r - 3 \\ 0, & \text{otros casos} \end{cases}.$$

Una forma alternativa de expresar la periodicidad corresponde a describir el intervalo $\langle N \rangle$ centrado en $k = 0$:

$$c_k = \begin{cases} \frac{1}{2}, & k = 7 \\ \frac{1}{2}, & k = -7 \\ -\frac{\sqrt{3}}{2}j, & k = 3 \\ \frac{\sqrt{3}}{2}j, & k = -3 \\ 0, & \text{otros casos} \end{cases}, \quad c_{k+42} = c_k.$$

Ejemplo 5

Dada la secuencia $x_p[n]$ de periodo N cuya serie de Fourier corresponde a la secuencia c_k , determinar la serie de Fourier de las siguientes expresiones en función a c_k :

- a. $x_p[n - n_0], n_0 \in \mathbb{Z}$.
- b. $(-1)^n x_p[n]$.

Solución:

- a. A partir de la propiedad de desplazamiento en el tiempo (*Tabla 2*):

$$x_p[n - n_0] \xleftrightarrow{\mathcal{F}} e^{-j \frac{2\pi}{N} n_0} c_k.$$

De forma alternativa, a partir de la *ecuación de análisis*:

$$\begin{aligned}
 \mathcal{F}\{x_p[n - n_0]\} &= \frac{1}{N} \sum_{n=\langle N \rangle} x_p[n - n_0] e^{-j \frac{2\pi k}{N} n}, \quad \text{cambio de variable: } \hat{n} = n - n_0 \\
 &= \frac{1}{N} \sum_{\hat{n}=\langle N \rangle} x_p[\hat{n}] e^{-j \frac{2\pi k}{N} (\hat{n} + n_0)} \\
 &= e^{-j \frac{2\pi k}{N} n_0} \underbrace{\frac{1}{N} \sum_{\hat{n}=\langle N \rangle} x_p[\hat{n}] e^{-j \frac{2\pi k}{N} \hat{n}}}_{c_k} = e^{-j \frac{2\pi k}{N} n_0} c_k.
 \end{aligned}$$

b. Ya que $n \in \mathbb{Z}$:

$$(-1)^n = e^{j\pi n} = e^{j \frac{2\pi}{N} \frac{N}{2} n}.$$

Entonces, por la propiedad de desplazamiento en frecuencia (*Tabla 2*):

$$\mathcal{F}\{e^{j \frac{2\pi}{N} \frac{N}{2} n} x_p[n]\} = c_{k - \frac{N}{2}}.$$

De forma alternativa, a partir de la *ecuación de síntesis*:

$$\begin{aligned}\mathcal{F}\{e^{j\frac{2\pi}{N}\frac{N}{2}n}x_p[n]\} &= \frac{1}{N} \sum_{n=\langle N \rangle} \underbrace{e^{j\frac{2\pi}{N}\frac{N}{2}n}x_p[n]e^{-j\frac{2\pi k}{N}n}}_{x_p[n]e^{-j\frac{2\pi}{N}(k-\frac{N}{2})n}} \\ &= c_{k-\frac{N}{2}}.\end{aligned}$$

Ejemplo 6

Dadas las secuencias $x[n]$ e $y[n]$ e periodo $N = 8$, determinar la secuencia $z[n]$ correspondiente a la convolución periódica de ambas:

$$z_p[n] = \sum_{r=\langle N \rangle} x_p[r] y_p[n-r],$$

$$x_p[n] = \sin\left(\frac{3\pi}{4}n\right),$$

$$y_p[n] = \begin{cases} 1, & n \in \{0, 1, \dots, 3\} \\ 0, & n \in \{4, 5, \dots, 7\} \end{cases}, \quad y_p[n+8] = y_p[n].$$

Solución: Antes de usar la propiedad de convolución periódica (*Tabla 2*), se incluye su demostración. Dada α_k la serie de Fourier de $x_p[n]$ y β_k la serie de Fourier de $y_p[n]$:

$$\begin{aligned}
 \mathcal{F}\{z_p[n]\} &= \frac{1}{N} \sum_{n=\langle N \rangle} \left(\sum_{r=\langle N \rangle} x_p[r] y_p[n-r] \right) e^{-j \frac{2\pi k}{N} n} && \text{cambio en orden de sumatorias} \\
 &= \frac{1}{N} \sum_{r=\langle N \rangle} x_p[r] \left(\sum_{n=\langle N \rangle} y_p[n-r] e^{-j \frac{2\pi k}{N} n} \right) && \text{cambio de variable: } \hat{n} = n - r \\
 &= \sum_{r=\langle N \rangle} x_p[r] \left(\frac{1}{N} \sum_{\hat{n}=\langle N \rangle} \underbrace{y_p[\hat{n}] e^{-j \frac{2\pi k}{N} (\hat{n}+r)}}_{y_p[\hat{n}] e^{-j \frac{2\pi k}{N} \hat{n}} e^{-j \frac{2\pi k}{N} r}} \right) && \text{multiplicando por } \frac{N}{N} \\
 &= \frac{N}{N} \sum_{r=\langle N \rangle} x_p[r] e^{-j \frac{2\pi k}{N} r} \alpha_k \\
 &= N \beta_k \alpha_k
 \end{aligned}$$

Luego, para las secuencias de interés:

$$\begin{aligned}\alpha_k &= \frac{1}{8} \sum_{n=0}^3 e^{-j\frac{2\pi k}{8}n} = \begin{cases} \frac{1}{2}, & k = 8r, r \in \mathbb{Z} \\ \frac{1}{8} \left(\frac{1 - e^{-j\frac{2\pi k}{8}4}}{1 - e^{-j\frac{2\pi k}{8}}} \right), & \text{otros casos} \end{cases} \\ &= \begin{cases} \frac{1}{2}, & k = 8r, r \in \mathbb{Z} \\ \frac{1}{8} e^{-j\frac{3\pi k}{8}} \frac{\sin(\frac{\pi k}{2})}{\sin(\frac{\pi k}{8})}, & \text{otros casos} \end{cases} \\ &= \left\{ \underset{\uparrow}{\frac{1}{2}}, \frac{1}{8} - 0,3018j, 0, \frac{1}{8} - 0,0518j, 0, \frac{1}{8} + 0,0518j, 0, \frac{1}{8} - 0,3018j \right\}, \quad \alpha_{k+8} = \alpha_k.\end{aligned}$$

$$\beta_k = \begin{cases} -\frac{j}{2}, & k = 8r + 3, r \in \mathbb{Z} \\ \frac{j}{2}, & k = 8r - 3 \end{cases}.$$

Entonces, aplicando producto en frecuencia:

$$c_k = \mathcal{F}\{y[n]\} = \left\{ \underset{\uparrow}{0}, 0, 0, -0,2071 - 0,5j, 0, -0,2071 + 0,5j, 0, 0 \right\}, \quad c_{k+8} = c_k.$$

IV. Transformada de Fourier en tiempo continuo

Ejemplo 7

Determinar la *transformada de Fourier en tiempo continuo* de:

$$x_c(t) = e^{-2(t-1)}u(t-1).$$

Solución: a partir de pares de transformación conocidos (*Tabla 4*):

$$e^{-2t}u(t) \xleftrightarrow{\mathcal{F}} \frac{1}{2 + j\Omega}.$$

Entonces, expresando $x_c(t)$ a partir de una función auxiliar y usando la propiedad de desplazamiento (*Tabla 3*):

$$\begin{aligned}x_c(t) &= \hat{x}_c(t-1), \quad \hat{x}_c(t) = e^{-2t}u(t). \\X_c(j\Omega) &= \hat{X}_c(j\Omega)e^{-j\Omega} \\&= \frac{e^{-j\Omega}}{2+j\Omega}.\end{aligned}$$

De forma alternativa, a partir de la definición de transformada de Fourier:

$$\begin{aligned}X_c(j\Omega) &= \int_{-\infty}^{+\infty} e^{-2(t-1)}u(t-1)e^{-j\Omega t}dt \\&= \int_1^{+\infty} e^{-2(t-1)}e^{-j\Omega t}dt \\&= \frac{e^2(e^{-2-j\Omega})}{2+j\Omega} = \frac{e^{-j\Omega}}{2+j\Omega}.\end{aligned}$$

Ejemplo 8

Determinar la transformada de Fourier en tiempo-continuo de:

$$x_c(t) = 1 + \cos\left(6\pi t + \frac{\pi}{8}\right)$$

Solución: A partir de la identidad de *Euler*:

$$x_c(t) = 1 + \underbrace{\frac{1}{2}e^{j(6\pi t + \frac{\pi}{8})}}_{\frac{1}{2}e^{j\frac{\pi}{8}}e^{j6\pi t}} + \underbrace{\frac{1}{2}e^{-j(6\pi t + \frac{\pi}{8})}}_{\frac{1}{2}e^{-j\frac{\pi}{8}}e^{-j6\pi t}}.$$

Luego, aplicando la propiedad de *linealidad* de la Transformada de Fourier en tiempo continuo (*Tabla 3*):

$$\mathcal{F}\{x_c(t)\} = \mathcal{F}\{1\} + \frac{1}{2}e^{j\frac{\pi}{8}}\mathcal{F}\{e^{j6\pi t}\} + \frac{1}{2}e^{-j\frac{\pi}{8}}\mathcal{F}\{e^{-j6\pi t}\}.$$

1. Los tres términos son armónicos con una frecuencia angular $\Omega_0 = 6\pi$ ($T_p = \frac{1}{3}$ s). De la transformada de Fourier de exponenciales complejas (*Tabla 4*):

I. $e^{j6\pi(0)} = 1 \xleftrightarrow{\mathcal{F}} 2\pi\delta(\Omega).$

II. $e^{j6\pi(1)} \xleftrightarrow{\mathcal{F}} 2\pi\delta(\Omega - 6\pi).$

III. $e^{j6\pi(-1)} \xleftrightarrow{\mathcal{F}} 2\pi\delta(\Omega + 6\pi).$

Finalmente:

$$X_c(j\Omega) = 2\pi\delta(\Omega) + \pi e^{j\frac{\pi}{8}} 2\pi\delta(\Omega - 6\pi) + \pi e^{-j\frac{\pi}{8}} \delta(\Omega + 6\pi).$$

Ejemplo 9

A partir de la ecuación de síntesis, determinar $x_c(t)$ si se sabe que:

$$|X_c(j\Omega)| = 2\{u(\Omega + 3) - u(\Omega - 3)\},$$

$$\angle X_c(j\Omega) = -\frac{3}{2}\Omega + \pi.$$

Solución: la transformada de Fourier en tiempo continuo de $x_c(t)$ puede ser expresada como:

$$\begin{aligned} X_c(j\Omega) &= |X_c(j\Omega)|e^{j\angle X_c(j\Omega)} \\ &= 2\{u(\Omega + 3) - u(\Omega - 3)\}e^{j(-\frac{3}{2}\Omega + \pi)}. \end{aligned}$$

Luego, aplicando la ecuación de síntesis:

$$\begin{aligned} x_c(t) &= \frac{1}{2\pi} \int_{-\infty}^{+\infty} X_c(j\Omega) e^{j\Omega t} d\Omega \\ &= \frac{1}{\pi} \int_{-3}^3 \underbrace{e^{j(-\frac{3}{2}\Omega + \pi)}}_{e^{-j\frac{3}{2}\Omega} e^{j\pi}} e^{j\Omega t} d\Omega \\ &= -\frac{6}{\pi} \text{sinc} \left[3 \left(t - \frac{3}{2} \right) \right]. \end{aligned}$$

Ejemplo 10

Dado el sistema LTI causal con función de transferencia:

$$H_c(j\Omega) = \frac{1}{j\Omega + 3},$$

Determinar la secuencia de entrada al sistema a partir de la *propiedad de convolución* si se sabe que la salida corresponde a:

$$y_c(t) = e^{-3t}u(t) - e^{-4t}u(t).$$

Solución: Antes de usar la propiedad de convolución de la *transformada de Fourier en tiempo continuo*, se incluye su demostración. Considerar la señal:

$$\begin{aligned} y_c(t) &= x_c(t) * h_c(t) \\ &= \int_{\tau=-\infty}^{+\infty} x_c(\tau) h_c(t - \tau) d\tau. \end{aligned}$$

Luego, a partir de la *ecuación de análisis*:

$$\begin{aligned}
 Y_c(j\Omega) &= \int_{t=-\infty}^{+\infty} \left(\int_{\tau=-\infty}^{+\infty} x_c(\tau) h_c(t - \tau) d\tau \right) e^{-j\Omega t} dt. && \text{Cambio de orden de integrales} \\
 &= \int_{\tau=-\infty}^{+\infty} x_c(\tau) \underbrace{\left(\int_{t=-\infty}^{+\infty} h_c(t - \tau) e^{-j\Omega t} dt \right)}_{H_c(j\Omega) e^{-j\Omega \tau}} d\tau \\
 &= X_c(j\Omega) H_c(j\Omega).
 \end{aligned}$$

2. Para la señal de interés, usando la propiedad de linealidad (*Tabla 3*):

$$\begin{aligned}
 Y_c(j\Omega) &= \mathcal{F}\{e^{-3t}u(t)\} - \mathcal{F}\{e^{-4t}u(t)\} \\
 &= \frac{1}{3 + j\Omega} - \frac{1}{4 + j\Omega} \\
 &= \frac{1}{(3 + j\Omega)(4 + j\Omega)}.
 \end{aligned}$$

Luego, por la propiedad de convolución:

$$\begin{aligned} X_c(j\Omega) &= \frac{Y_c(j\Omega)}{H_c(j\Omega)} \\ &= \frac{1}{4 + j\Omega} \end{aligned}$$

Finalmente:

$$x_c(t) = e^{-4t}u(t).$$

V. Transformada de Fourier en tiempo discreto

Ejemplo 11

Determinar la transformada de Fourier de la secuencia:

$$x[n] = \left(\frac{1}{2}\right)^{|n-1|}.$$

Solución: Expresando la secuencia como una función por partes:

$$x[n] = \begin{cases} \left(\frac{1}{2}\right)^{(n-1)}, & n \geq 1 \\ \left(\frac{1}{2}\right)^{-(n-1)}, & n < 1 \end{cases}.$$

Luego, a partir de la *ecuación de análisis*:

$$\begin{aligned}
 X(e^{j\omega}) &= \sum_{n=-\infty}^0 \left(\frac{1}{2}\right)^{-(n-1)} e^{-j\omega n} + \sum_{n=1}^{+\infty} \left(\frac{1}{2}\right)^{(n-1)} e^{-j\omega n}, \quad \text{aplicando cambios de variable} \\
 &= \frac{1}{2} \sum_{\hat{n}=0}^{+\infty} \left(\frac{1}{2} e^{j\omega}\right)^{\hat{n}} + e^{-j\omega} \sum_{\tilde{n}=0}^{+\infty} \left(\frac{1}{2} e^{-j\omega}\right)^{\tilde{n}}, \quad \text{usando la serie geométrica} \\
 &= \frac{\frac{1}{2}}{1 - \frac{1}{2} e^{j\omega}} + \frac{e^{-j\omega}}{1 - \frac{1}{2} e^{-j\omega}}, \quad \text{a partir de la identidad de Euler} \\
 &= \frac{\frac{3}{4} e^{-j\omega}}{\frac{5}{4} - \cos(\omega)}.
 \end{aligned}$$

De forma alternativa, es posible aplicar pares de transformación conocidos (*Tabla 4*) para obtener el espectro de $x[n]$. Expresando la secuencia a partir de escalones unitarios:

$$x[n] = \underbrace{\left(\frac{1}{2}\right)^{(n-1)} u[n-1]}_{\alpha[n-1]} + \underbrace{\left(\frac{1}{2}\right)^{-(n-1)} u[-n]}_{2\alpha[-n]}.$$

Analizando el espectro de la secuencia auxiliar $\alpha[n]$:

$$\alpha(e^{j\omega}) = \frac{1}{1 - \frac{1}{2}e^{-j\omega}}.$$

Luego, por *linealidad, desplazamiento en tiempo e inversión en tiempo* (Tabla 5):

$$\begin{aligned}X(e^{j\omega}) &= \mathcal{F}\{\alpha[n-1]\} + \frac{1}{2}\mathcal{F}\{\alpha[-n]\} \\&= \frac{e^{-j\omega}}{1 - \frac{1}{2}e^{-j\omega}} + \frac{\frac{1}{2}}{1 - \frac{1}{2}e^{j\omega}} \\&= \frac{\frac{3}{4}e^{-j\omega}}{\frac{5}{4} - \cos(\omega)}.\end{aligned}$$

Ejemplo 12

Determinar la transformada de Fourier en tiempo discreto de la secuencia:

$$x[n] = \sin\left(\frac{\pi}{3}n + \frac{\pi}{4}\right).$$

Solución: a partir de la identidad de *Euler*, se expresa la secuencia a partir de exponenciales complejas armónicamente relacionadas con $\omega_0 = \frac{\pi}{3}$ ($N = 6$):

$$x[n] = \underbrace{-\frac{j}{2}e^{j\left(\frac{\pi}{3}n + \frac{\pi}{4}\right)}}_{-\frac{j}{2}e^{j\frac{\pi}{4}}e^{j\left(\frac{\pi}{3}n\right)}} + \underbrace{\frac{j}{2}e^{-j\left(\frac{\pi}{3}n + \frac{\pi}{4}\right)}}_{\frac{j}{2}e^{-j\frac{\pi}{4}}e^{-j\left(\frac{\pi}{3}n\right)}}.$$

Luego, a partir de la propiedad de linealidad (*Tabla 5*):

$$X(e^{j\omega}) = -\frac{j}{2}e^{j\frac{\pi}{4}}\mathcal{F}\left\{e^{j\left(\frac{\pi}{3}n\right)}\right\} + \frac{j}{2}e^{-j\frac{\pi}{4}}\mathcal{F}\left\{e^{-j\left(\frac{\pi}{3}n\right)}\right\}.$$

De la transformada de Fourier para exponenciales complejas (*Tabla 6*):

- I. $\mathcal{F}\left\{e^{j\left(\frac{\pi}{3}n\right)}\right\} = 2\pi \sum_{l=-\infty}^{+\infty} \delta\left(\omega - \frac{2\pi}{6} - 2\pi l\right)$
- II. $\mathcal{F}\left\{e^{-j\left(\frac{\pi}{3}n\right)}\right\} = 2\pi \sum_{l=-\infty}^{+\infty} \delta\left(\omega + \frac{2\pi}{6} - 2\pi l\right)$

Por lo tanto, el espectro de frecuencia de $x[n]$ corresponde a:

$$X(e^{j\omega}) = -j\pi e^{j\frac{\pi}{4}} \sum_{l=-\infty}^{+\infty} \delta\left(\omega - \frac{2\pi}{6} - 2\pi l\right) + j\pi e^{-j\frac{\pi}{4}} \sum_{l=-\infty}^{+\infty} \delta\left(\omega + \frac{2\pi}{6} - 2\pi l\right).$$

Una expresión alternativa para el espectro corresponde al intervalo $\omega \in [-\pi, \pi]$:

$$X(e^{j\omega}) = -j\pi e^{j\frac{\pi}{4}} \delta\left(\omega - \frac{2\pi}{6}\right) + j\pi e^{-j\frac{\pi}{4}} \delta\left(\omega + \frac{2\pi}{6}\right), \quad X(e^{j(\omega+2\pi)}) = X(e^{j\omega}).$$

Ejemplo 13

Un sistema LTI con respuesta al impulso $h[n]$ recibe la secuencia de entrada:

$$x[n] = (n+1) \left(\frac{1}{4}\right)^n u[n].$$

Determinar la secuencia de salida $y[n]$.

Solución: a partir de la propiedad de linealidad y derivación en frecuencia (*Tabla 5*), el espectro de la secuencia de entrada $X(e^{j\omega})$ corresponde a:

$$\begin{aligned} X(e^{j\omega}) &= \mathcal{F}\left\{n\left(\frac{1}{4}\right)^n u[n]\right\} + \mathcal{F}\left\{\left(\frac{1}{4}\right)^n u[n]\right\} \\ &= j\frac{d}{d\omega}\left\{\frac{1}{1 - \frac{1}{4}e^{-j\omega}}\right\} + \frac{1}{1 - \frac{1}{4}e^{-j\omega}} \\ &= \frac{1}{\left(1 - \frac{1}{4}e^{-j\omega}\right)^2} \end{aligned}$$

A partir de la propiedad de convolución (*Tabla 5*):

$$\begin{aligned} Y(e^{j\omega}) &= X(e^{j\omega})H(e^{j\omega}) \\ &= \frac{1}{\left(1 - \frac{1}{4}e^{-j\omega}\right)^2} \frac{1}{1 - \frac{1}{2}e^{-j\omega}}. \end{aligned}$$

Aplicando fracciones parciales:

$$Y(e^{j\omega}) = \frac{-2}{1 - \frac{1}{4}e^{-j\omega}} + \frac{-3}{\left(1 - \frac{1}{4}e^{-j\omega}\right)^2} + \frac{4}{1 - \frac{1}{2}e^{-j\omega}}.$$

1. Finalmente, a partir de pares de transformación de la *transformada de Fourier en tiempo discreto*:

$$y[n] = 4\left(\frac{1}{2}\right)^n u[n] - 2\left(\frac{1}{4}\right)^n u[n] - 3(n+1)\left(\frac{1}{4}\right)^n u[n].$$

1. Motivación

Es imposible almacenar $X(e^{j\omega})$ ya que implica información infinita. Representar el espectro de frecuencia de $x[n]$ como un **conjunto finito de muestras** $X[k]$ permite su uso en sistemas numéricos y es la base de implementaciones eficientes para múltiples algoritmos de procesamiento de señales.

2. Definición

Considerar una secuencia causal de L muestras de duración $x[n]$ y a su transformada de Fourier en tiempo-discreto (*DTFT*) $X(e^{j\omega})$, donde $\omega \in \mathbb{R}$ representa al dominio de frecuencia continua en radianes por muestra. Entonces, la secuencia de duración finita $X[k]$

correspondiente a N muestras uniformemente espaciadas de $X(e^{j\omega})$ se denomina **Transformada discreta de Fourier (DFT)**:

$$\begin{aligned} X[k] &= \text{DFT}_N\{x[n]\} \triangleq X(e^{j\omega})\big|_{\omega=\frac{2\pi k}{N}}, k \in \{0, 1, \dots, N-1\} \\ &= \sum_{n=0}^{L-1} x[n] e^{j\frac{2\pi k}{N}n}, k \in \{0, 1, \dots, N-1\}. \end{aligned} \quad (1)$$

3. Tomar muestras de la transformada de Fourier en tiempo discreto

- a. Dada la secuencia causal $x[n]$ de L muestras de duración y su espectro $X(e^{j\omega})$, se define $X_p[k]$ como la secuencia de **duración infinita** compuesta por muestras de su espectro espaciadas uniformemente $\omega_0 = \frac{2\pi}{N}$, donde $N \in \mathbb{Z}^+$.

$$X_p[k] \triangleq X(e^{j\omega})\big|_{\omega=\frac{2\pi k}{N}} = \sum_{n=-\infty}^{+\infty} x[n] e^{-j\frac{2\pi k}{N}n}, k \in \mathbb{Z}.$$

Ya que $X(e^{j\omega})$ es de periodo 2π , entonces $X_p[k]$ será una secuencia de periodo N y contiene valores únicos en el intervalo $k \in \{0, \dots, N-1\}$.

- b. De lo anterior, es posible obtener una expresión alternativa para $X[k]$:

$$X[k] = \begin{cases} X_p[k] & , k \in \{0, 1, \dots, N-1\} \\ 0 & , \text{otros casos} \end{cases}.$$

En otras palabras, $X[k]$ corresponde al periodo de $X_p[k]$ en el intervalo $k \in \{0, 1, \dots, N-1\}$.

- c. Del concepto de **Series de Fourier en tiempo discreto (DTFS)**, se sabe que una secuencia $x_p[n]$ de periodo N tiene un espectro de frecuencia c_k que corresponde a muestras de la envolvente $X(e^{j\omega})$:

$$c_k = \mathcal{F}\{x_p[n]\} = \frac{1}{N} X(e^{j\omega}) \Big|_{\omega = \frac{2\pi k}{N}}.$$

Transformada Discreta de Fourier (*Discrete Fourier Transform*) IV

Entonces, $X_p[k]$ corresponde al espectro de frecuencia de $x_p[n]$ escalado por un factor N :

$$X_p[k] = X(e^{j\omega}) \Big|_{\omega=\frac{2\pi k}{N}} = N c_k.$$

Por lo tanto, a partir de la **ecuación de síntesis**:

$$\begin{aligned} x_p[n] &= \sum_{k=\langle N \rangle} \underbrace{\frac{1}{N} X_p[k]}_{c_k} e^{j\frac{2\pi k}{N}n} = \frac{1}{N} \sum_{k=\langle N \rangle} \left(\sum_{\hat{n}=-\infty}^{+\infty} x[\hat{n}] e^{-j\frac{2\pi k}{N}\hat{n}} \right) e^{j\frac{2\pi k}{N}n} \quad (2) \\ &= \sum_{\hat{n}=-\infty}^{+\infty} x[\hat{n}] \underbrace{\left(\frac{1}{N} \sum_{k=\langle N \rangle} e^{-j\frac{2\pi k}{N}(n-\hat{n})} \right)}_{p[n-\hat{n}]} = x[n] * \underbrace{\left(\frac{1}{N} \sum_{k=\langle N \rangle} e^{j\frac{2\pi k}{N}n} \right)}_{p[n]}. \end{aligned}$$

A partir de la serie geométrica:

$$p[n] = \sum_{r=-\infty}^{+\infty} \delta[n - rN], r \in \mathbb{Z}.$$

Esto implica que $x_p[n]$ corresponde a la versión de $x[n]$ con periodo N .

$$x_p[n] = x[n] * \sum_{r=-\infty}^{+\infty} \delta[n - rN] = \sum_{r=-\infty}^{+\infty} x[n - rN]. \quad (3)$$

- d. Basándose en (2) y (3), es posible obtener la secuencia de duración finita $x[n]$ a partir de N muestras de su espectro $X[k]$ mediante la expresión denominada **transformada discreta de Fourier inversa** (*DFT inversa*):

$$x[n] = \frac{1}{N} \sum_{k=0}^{N-1} X_p[k] e^{j \frac{2\pi k}{N} n}, n \in \{0, 1, \dots, N-1\}.$$

Transformada Discreta de Fourier (*Discrete Fourier Transform*) VI

- I. Si $N \geq L$, las componentes de $x_p[n]$ no se superponen entre sí y la relación entre $x[n]$ y $x_p[n]$ es:

$$x_p[n] = x[(n))_N],$$

donde $((n))_N$ corresponde a la operación n módulo N . De la misma forma:

$$x[n] = \begin{cases} x_p[n] & , n \in \{0, 1, \dots, N-1\} \\ 0 & , \text{otros casos} \end{cases}.$$

- II. Si $N < L$, las componentes de $x_p[n]$ se superponen entre sí, por lo que la secuencia original $x[n]$ no se preserva.

Ejemplo 14

Determinar $X[k]$, la transformada discreta de Fourier de $x[n] = \{1, 2, 3, 4\}$. Luego, determinar su transformada inversa y verificar si es posible recuperar la secuencia original:

- a. $N = 5$
b. $N = 3$

Solución: la *DTFT* de $x[n]$, de $L = 4$ muestras de longitud, corresponde a:

$$X(e^{j\omega}) = \sum_0^3 x[n]e^{-j\omega n} = 1 + 2e^{-j\omega} + 3e^{-j2\omega} + 4e^{-j3\omega}.$$

Entonces, para a), la secuencia de duración infinita $X_p[k]$ corresponde a:

$$\begin{aligned} X_p[k] &= X(e^{j\omega}) \Big|_{\omega=\frac{2\pi k}{5}} \\ &= 1 + 2e^{-j\frac{2\pi k}{5}} + 3e^{-j2\frac{2\pi k}{5}} + 4e^{-j3\frac{2\pi k}{5}}, k \in \mathbb{Z}. \end{aligned}$$

Luego, su *DFT* de 5 puntos corresponde a:

$$\begin{aligned} X[k] &= \text{DFT}_{N=5}\{x[n]\} = \begin{cases} X_p[k] & , k \in \{0, 1, \dots, 4\} \\ 0 & , \text{otros casos} \end{cases} \\ &= 1 + 2e^{-j\frac{2\pi k}{5}} + 3e^{-j2\frac{2\pi k}{5}} + 4e^{-j3\frac{2\pi k}{5}}, k \in \{0, 1, \dots, 4\}. \end{aligned}$$

Adicionalmente, de (3) se sabe que $X_p[k]$ corresponde a la secuencia $x_p[n]$ de periodo 5:

$$\begin{aligned}x_p[n] &= \sum_{r=-\infty}^{+\infty} x[n - 5r] \\&= \{ \dots, \underbrace{1, 2, 3, 4, 0}_{k=-1}, \underbrace{1, 2, 3, 4, 0}_{k=0}, \underbrace{1, 2, 3, 4, 0}_{k=1}, \dots \}.\end{aligned}$$

Por lo tanto, $x[n]$ puede ser recuperada a partir de $\text{DFT}_{N=5}^{-1}\{X[k]\}$ como:

$$\begin{aligned}\text{DFT}_{N=5}^{-1}\{X[k]\} &= \begin{cases} x_p[n] & , n \in \{0, 1, \dots, 4\} \\ 0 & , \text{otros casos} \end{cases} \\&= \{ \underbrace{1, 2, 3, 4}_{\uparrow} \} \\&= x[n].\end{aligned}$$

Para b), la secuencia de duración infinita $X_p[k]$ corresponde a:

$$\begin{aligned} X_p[k] &= X(e^{j\omega}) \Big|_{\omega=\frac{2\pi k}{3}}, k \in \mathbb{Z} \\ &= 1 + 2e^{j\frac{2\pi k}{3}} + 3e^{j2\frac{2\pi k}{3}} + \underbrace{4e^{j3\frac{2\pi k}{3}}}_{=1}, k \in \mathbb{Z} \\ &= 5 + 2e^{j\frac{2\pi k}{3}} + 3e^{j2\frac{2\pi k}{3}}, k \in \mathbb{Z}. \end{aligned}$$

Dado que el número de muestras en frecuencia N es menor a la duración de $x[n]$, existen términos en $X_p[k]$ que se superponen. Luego, de (3) se sabe que $X_p[k]$ corresponde a la secuencia $x_p[n]$ de periodo 3:

$$\begin{aligned} x_p[n] &= \sum_{r=-\infty}^{+\infty} x[n - 3r] \\ &= \{ \dots, \underbrace{5, 2, 3}_{k=-1}, \underbrace{5, 2, 3}_{k=0}, \underbrace{5, 2, 3}_{k=1}, \dots \} \end{aligned}$$

Luego, su *DFT* de 3 puntos corresponde a:

$$\begin{aligned} X[k] = \text{DFT}_{N=3}\{x[n]\} &= \begin{cases} X_p[k] & , k \in \{0, 1, 2\} \\ 0 & , \text{otros casos} \end{cases} . \\ &= 5 + 2e^{-j\frac{2\pi k}{5}} + 3e^{-j2\frac{2\pi k}{5}}, k \in \{0, 1, 2\}. \end{aligned}$$

Por lo tanto, su inversa corresponde a:

$$\begin{aligned} \text{DFT}_{N=3}^{-1}\{X[k]\} &= \begin{cases} x_p[n] & , n \in \{0, 1, \dots, 2\} \\ 0 & , \text{otros casos} \end{cases} \\ &= \{5, 2, 3\} \\ &\quad \uparrow \\ &\neq x[n], \end{aligned}$$

lo cual indica que la secuencia original no es preservada en el espectro muestreado para $N = 3$.

- e. El ejemplo anterior ilustra la condición para que la *DFT* sea característica de una secuencia arbitraria $x[n]$. El espectro discreto $X[k]$ permite recuperar $x[n]$ solo si $N \geq L$. Cuando esto no se cumple, las repeticiones en $x_p[n]$ se superponen entre sí y alteran la secuencia en espacio de muestras. A este fenómeno se le conoce como **Aliasing en tiempo**.

4. Resumen

- a. Notación:

$$x[n] = \text{DFT}_N^{-1}\{X[k]\},$$

$$X[k] = \text{DFT}_N\{x[n]\},$$

$$x[n] \xleftrightarrow[N]{\text{DFT}} X[k].$$

- b. Muestreo en frecuencia:

$$X_p[k] \triangleq X(e^{j\omega})\big|_{\omega=\frac{2\pi k}{N}}, k \in \mathbb{Z}.$$

c. Transformada discreta de Fourier inversa:

$$x[n] = \frac{1}{N} \sum_{k=0}^{N-1} X_p[k] e^{j \frac{2\pi k}{N} n}, n \in \{0, 1, \dots, N-1\}.$$

d. Transformada discreta de Fourier:

$$X[k] = \sum_{n=0}^{N-1} x_p[n] e^{-j \frac{2\pi k}{N} n}, k \in \{0, 1, \dots, N-1\}.$$

e. Versiones periódicas:

$$x_p[n] = \sum_{r=-\infty}^{+\infty} x[n - rN] = x[((n))_N],$$
$$X_p[k] = \sum_{r=-\infty}^{+\infty} X[k - rN] = X[((k))_N].$$

Señal $x[n]$ de duración finita:

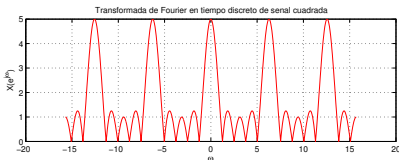
$$x[n] = \begin{cases} 1, & 0 \leq n \leq L-1 \\ 0, & \text{otros casos} \end{cases}$$

Transformada discreta de Fourier de $x[n]$

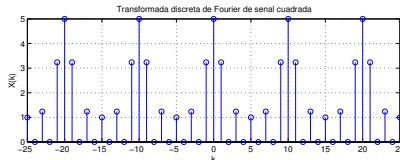
$$\begin{aligned} X(k) &= \sum_{n=0}^{L-1} (1) e^{-j \frac{2\pi k}{N} n} \\ &= \begin{cases} \frac{1 - e^{-j \frac{2\pi k}{N} L}}{1 - e^{-j \frac{2\pi k}{N}}} = e^{-j(\frac{\pi k}{N})(L-1)} \frac{\sin(\frac{\pi k}{N} L)}{\sin(\frac{\pi k}{N})}, & k \text{ no es múltiplo de } N \\ L, & k \text{ es múltiplo de } N \end{cases} \end{aligned}$$

Ejemplo Transformada Discreta de Fourier

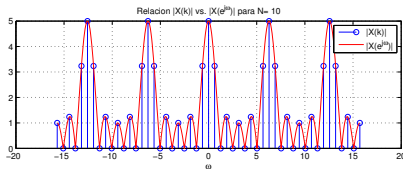
- Relación entre $X[k]$ y $X(e^{j\omega})$ para $L = 5$ y $N = 10$. La transformada discreta de Fourier corresponde a muestras de la transformada de Fourier en tiempo discreto separadas $\Delta\omega = \frac{2\pi}{N}$.



(a) $|X(e^{j\omega})|$



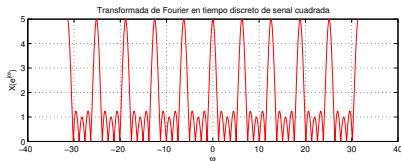
(b) $|X(k)|$



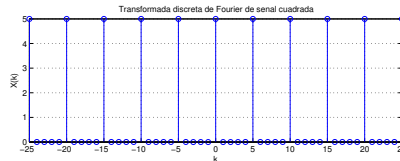
(c) $|X(k)|$ vs. $|X(e^{j\omega})|$

Ejemplo Transformada Discreta de Fourier

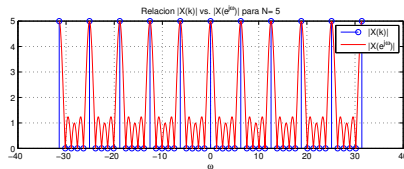
- Relación entre $X[k]$ y $X(e^{j\omega})$ para $L = 5$ y $N = 5$. La transformada discreta de Fourier corresponde a muestras de la transformada de Fourier en tiempo discreto separadas $\Delta\omega = \frac{2\pi}{N}$.



(a) $|X(e^{j\omega})|$



(b) $|X(k)|$



(c) $|X(k)|$ vs. $|X(e^{j\omega})|$

Concepto básico de señales periódicas

La discretización del espectro al calcular la DFT $X[k]$ implica que la señal en espacio corresponde a una versión periódica de la señal original, denotada como $x_p[n]$:

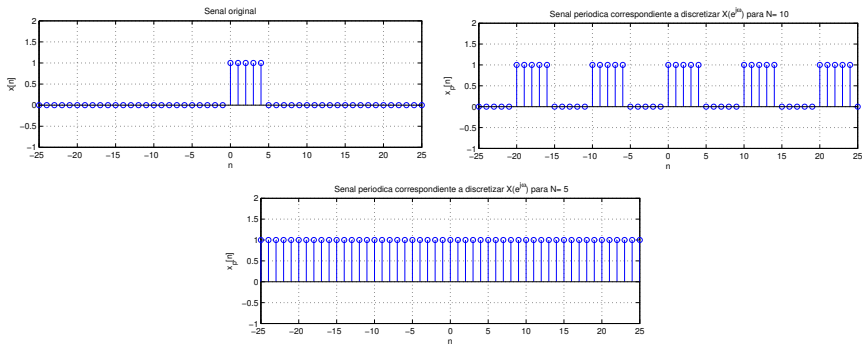


Figura 3: Efecto de periodicidad de la DFT.

- Es posible expresar la **DFT** directa e inversa como *operaciones matriz-vector*

$$W_N \triangleq e^{-j2\pi \frac{1}{N}},$$

$$\therefore X[k] = \sum_{n=0}^{N-1} x[n] W_N^{kn}, \quad k \in \{0, 1, \dots, N-1\},$$

$$x[n] = \frac{1}{N} \sum_{k=0}^{N-1} X[k] W_N^{-kn}, \quad n \in \{0, 1, \dots, N-1\}.$$

$$\mathbf{X}_N = \mathbf{W}_N \cdot \mathbf{x}_N$$

$$\mathbf{x}_N = \frac{1}{N} \mathbf{W}_N^* \cdot \mathbf{X}_N$$

$$\mathbf{W}_N = \begin{pmatrix} 1 & 1 & 1 & \dots & 1 \\ 1 & W_N & W_N^2 & \dots & W_N^{N-1} \\ 1 & W_N^2 & W_N^4 & \dots & W_N^{2(N-1)} \\ \vdots & \vdots & \ddots & \vdots & \\ 1 & W_N^{N-1} & W_N^{2(N-1)} & \dots & W_N^{(N-1)(N-1)} \end{pmatrix}, \mathbf{x}_N = \begin{pmatrix} x[0] \\ x[1] \\ x[2] \\ \vdots \\ x[N-1] \end{pmatrix}, \mathbf{X}_N = \begin{pmatrix} X(0) \\ X(1) \\ X(2) \\ \vdots \\ X(N-1) \end{pmatrix}.$$

1. Desplazamiento circular

La **DFT** de N puntos correspondiente a una secuencia $x[n]$ de longitud $L \leq N$ es equivalente a la **serie de Fourier** (escalada por un factor N) de la secuencia periódica $x_p[n]$ de periodo N :

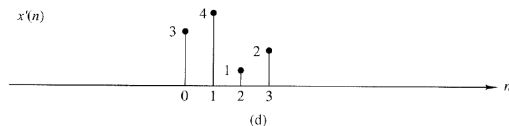
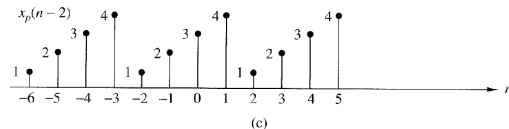
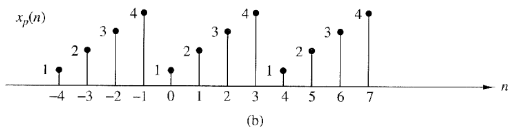
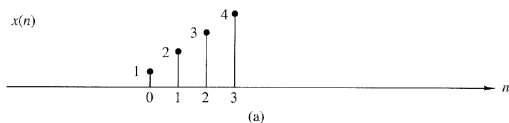
$$x_p[n] = \sum_{l=-\infty}^{+\infty} x[n - l \cdot N].$$

De igual manera, la **DFT** de N puntos de $\hat{x}[n] = x[((n - k))_N]$ (secuencia desplazada k elementos de forma circular) corresponde a la *serie de Fourier* (escalada por un factor N) de la secuencia periódica $\hat{x}_p[n]$:

$$\hat{x}_p[n] = x_p[n - k] = \sum_{l=-\infty}^{+\infty} x[n - k - l \cdot N],$$

$$\hat{x}[n] = \begin{cases} \hat{x}_p[n], & n \in \{0, 1, \dots, N-1\} \\ 0; & \text{otros casos} \end{cases} = x[((n-k))_N]m \quad n \in \{0, 1, \dots, N-1\}.$$

Finalmente, $x[n]$ y $\hat{x}[n]$ se componen de los mismos elementos pero desplazados circularmente.



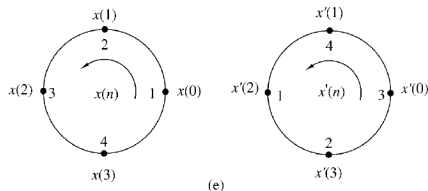


Figura 4: Desplazamiento circular

2. Producto en frecuencia de la DFT y convolución circular

- Considerar las secuencias de duración finita menor a N $\{x[n], h[n]\}$ con transformadas de Fourier en tiempo discreto $\{X(e^{j\omega}), H(e^{j\omega})\}$ y transformadas discretas de Fourier $\{X[k], H[k]\}$, respectivamente.

- b. Ya que $\{X_p[k], H_p[k]\}$ corresponden a muestras de $\{X(e^{j\omega}), H(e^{j\omega})\}$ y las secuencias $\{x_p[n], h_p[n]\}$ son de periodo N , existe una diferencia entre multiplicar dos espectros en dominio de frecuencia continuo $\{X(e^{j\omega}), H(e^{j\omega})\}$ y sus versiones discretas $\{X_p[k], H_p[k]\}$. De la propiedad de convolución, la nueva relación corresponde a:

$$\begin{aligned}\text{DFT}_N^{-1}\{X[k]H[k]\} &= \sum_{k=\langle N \rangle} x_p[k]h_p[n-k], \quad n \in \{0, 1, \dots, N-1\} \\ &= \sum_{k=0}^{N-1} x[k]h[((n-k))_N], \quad n \in \{0, 1, \dots, N-1\} \\ &= x[n] \textcircled{N} h[n]. \quad n \in \{0, 1, \dots, N-1\}\end{aligned}$$

A esta operación se le denomina **convolución circular de N puntos**.

- c. De forma general, para un sistema LTI con respuesta al impulso $h[n]$ y secuencia de entrada $x[n]$, la secuencia de salida $y[n]$ puede ser calculada a partir del producto de transformadas discretas de Fourier para un número de muestras $N \geq P + Q - 1$, donde P y Q corresponden a la duración de la respuesta al impulso y la secuencia de entrada, respectivamente:

$$Y[k] = X[k]H[k] \xleftrightarrow[N]{\text{DFT}} y[n] = x[n] \circledcirc h[n].$$

Al igual que la *convolución lineal* ($y[n] = x[n] * h[n]$), la convolución circular cumple con la propiedad conmutativa:

$$x[n] \circledcirc h[n] = h[n] \circledcirc x[n].$$

Property	Time Domain	Frequency Domain
Notation	$x(n), y(n)$	$X(k), Y(k)$
Periodicity	$x(n) = x(n + N)$	$X(k) = X(k + N)$
Linearity	$a_1x_1(n) + a_2x_2(n)$	$a_1X_1(k) + a_2X_2(k)$
Time reversal	$x(N - n)$	$X(N - k)$
Circular time shift	$x((n - l))_N$	$X(k)e^{-j2\pi kl/N}$
Circular frequency shift	$x(n)e^{j2\pi ln/N}$	$X((k - l))_N$
Complex conjugate	$x^*(n)$	$X^*(N - k)$
Circular convolution	$x_1(n) \circledast x_2(n)$	$X_1(k)X_2(k)$
Circular correlation	$x(n) \circledast y^*(-n)$	$X(k)Y^*(k)$
Multiplication of two sequences	$x_1(n)x_2(n)$	$\frac{1}{N}X_1(k) \circledast X_2(k)$
Parseval's theorem	$\sum_{n=0}^{N-1} x(n)y^*(n)$	$\frac{1}{N} \sum_{k=0}^{N-1} X(k)Y^*(k)$

Figura 5: Propiedades de la Transformada Discreta de Fourier

- (1) Proakis, J. G. & Manolakis, D. K. (2006), Digital Signal Processing (4th Edition), Prentice Hall.
- (2) Oppenheim, A.V., Schafer, R. W., & Buck, J.R. (2009), Discrete-Time Signal Processing (3rd Edition), Prentice-Hall.
- (3) Oppenheim, A. V., Willsky, A. S., & Nawab, S. H. (1983). Signals and systems (2nd Edition). Englewood Cliffs, NJ: Prentice-Hall.